

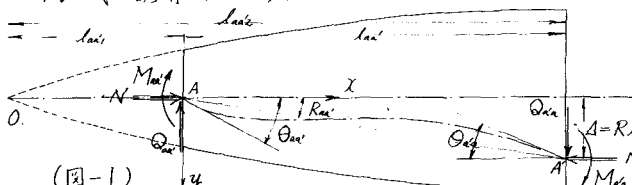
# 変断面材の塑屈挾角式の説導

九州大学工学部 正員 山崎 徳也

学生員 潤川 宗亮

塑屈挾角法は定断面材を対象として1931年坂<sup>(1)</sup>氏がこれを確立して以来、植浦<sup>(2)</sup>、外西<sup>(3)</sup>氏等により応用拡張され、骨組の塑屈荷重計算の手段として非常に重要な位置を占めている。本研究は各種実用変断面材にも適用されるべく、本法の一般的拡張を企図したもので、凡て変断面を含む骨組の骨組構造の塑屈解析に用いて極めて有用かと考える。

## 1. 式の説導(図-1参照)



今、部材  $A-A'$  の断面が(1)式の仮定に従って変化するものとする。

即ち、任意点  $X$  における断面二次モーメントは

$$I = I_{aa'} f(\xi) \quad \dots \dots \dots (1)$$

ここで  $I_{aa'}$  は  $X = l_{aa'}$  における基準断面二次モーメントであり、 $\xi = X/l_{aa'}$  とする。

次に  $X$  点の曲げモーメントは次の如く得られる。

$$M = M_{aa'}(1-\xi) - M_{aa'}\xi + N(y - A\xi) \quad \dots \dots \dots (2)$$

$d^2y/dx^2 = -M/EI$  に(1)、(2)式を代入すれば直ちに次の微分方程式を得る。

$$EI_{aa'}f(\xi) \frac{d^2y}{d\xi^2} + N \cdot y = -M_{aa'}(1-\xi) + M_{aa'}\xi + N \cdot A\xi \quad \dots \dots \dots (3)$$

(3)式の特解は容易に分る如く  $- \frac{M_{aa'}}{N}(1-\xi) + \frac{M_{aa'}}{N}\xi + A\xi$  である。今その一般解を  $Y(\xi)$  で表わせば(3)式の完全解は次式となる。

$$y = Y(\xi) - \frac{M_{aa'}}{N}(1-\xi) + \frac{M_{aa'}}{N}\xi + A\xi \quad \dots \dots \dots (4)$$

$$(4)式を(2)式に代入すれば \quad M = N \cdot Y(\xi) \quad \dots \dots \dots (5)$$

(3)式は二階微分方程式であるから(4)式は積分定数を含むと考えられる。ここで(5)式より  $M_{aa'} = N \cdot Y(0)$ ,  $M_{aa} = N \cdot Y(1)$  を境界条件として与えれば(3)式は解けた事になり、後は普通行かれている弾性曲線を利用して挾角式を導く手法により式の説導が可能となる。

以上で分る様に此の問題は(3)式の一般解即ち  $Y(\xi)$  を求める事にありといえる。ここで(5)式の一般解がベッセルの微分方程式並びにオイラーの微分方程式(同次線型微分方程式)で解ける様な  $f(\xi)$  について(3)式を解き、その結果を示した。なお、その具体的な応用範囲は次記するごとくで数理的取扱可能なものは一応つくしたと言える。

(a) 定断面材の場合  $f(\xi) = 1$

(b) 断面二次モーメントが一次的に変化する場合  $f(\xi) = (l_{aa'} + x)/l_{aa'}$

矩形断面材(高さ一定、中直線変化)

(c) 断面二次モーメントが二次的に変化する場合  $f(\xi) = (l_{aa'} + x)^2/l_{aa'}$

中空組立材(断面積一定、高さ直線変化)

(d) 断面二次モーメントが三次的に変化する場合  $f(\xi) = (l_{aa'} + x)^3/l_{aa'}$

- 矩形断面材 (中一辺 高さ直線変化)
- 梢円形断面材 (高さ又は中のどちらか一方が直線変化)
- (c) 断面二次元メットが四次的に変化する場合.  $f(\xi) = (\lambda_{aa'} + x)^4 / \lambda_{aa'}$
- 截頭円錐材
- 截頭四角錐材
- 截頭梢円錐材

## 2. 式の表示並びにその係数

以上より変断面材の拘屈係数は一般的に次の様な式表示できる事が出来る。

$$\begin{aligned} M_{aa'} &= k_{aa'} (\alpha_{aa'} \varphi_{aa'} + \beta_{aa'} \varphi_{aa} - (\alpha_{aa'} + \beta_{aa'}) \psi_{aa'}) \\ M_{aa} &= k_{aa'} (\beta_{aa'} \varphi_{aa'} + \alpha_{aa} \varphi_{aa} - (\alpha_{aa} + \beta_{aa}) \psi_{aa'}) \end{aligned} \quad \{ \quad (6)$$

$$A'端がビンチ結合の時 \quad M_{aa'} = k_{aa'} \varphi_{aa'} (\varphi_{aa'} - \psi_{aa'}) , \quad M_{aa} = 0 \quad (7)$$

$$A端がビンチ結合の時 \quad M_{aa'} = 0 , \quad M_{aa} = k_{aa'} \varphi_{aa} (\varphi_{aa} - \psi_{aa'}) \quad (8)$$

$$\text{但し. } k_{aa'} = E k_{aa'} / E_{Ko} , \quad \varphi = E_{Ko} \theta , \quad \psi = E_{Ko} R \quad (9)$$

又 (6), (7), (8) 式に於ける係数  $\alpha_{aa'}, \alpha_{aa}, \beta_{aa'}, \beta_{aa}$  は次記の如くである。式中.

$$\mu_{aa'} = \lambda_{aa'} / \lambda_{aa} , \quad Z_{aa'} = (N_{aa'} / E K_{aa'})^{1/2} \quad (10)$$

$$(a) \quad f(\xi) = 1 .$$

$$\alpha_{aa'} = \alpha_{aa} = Z_{aa'} (\sin Z_{aa'} - Z_{aa'} \cos Z_{aa'}) / \{ 2(1 - \cos Z_{aa'}) - Z_{aa'} \sin Z_{aa'} \}$$

$$\beta_{aa'} = \beta_{aa} = Z_{aa'} (Z_{aa'} - \sin Z_{aa'}) / \{ 2(1 - \cos Z_{aa'}) - Z_{aa'} \sin Z_{aa'} \}$$

$$\delta_{aa'} = \delta_{aa} = Z_{aa'}^2 \sin Z_{aa'} / (\sin Z_{aa'} - Z_{aa'} \cos Z_{aa'})$$

$$(b) \quad f(\xi) = (\lambda_{aa'} + x)^4 / \lambda_{aa'}$$

$$\alpha_{aa'} = \left\{ \frac{1}{2} (1 + \mu_{aa'}) + \mu_{aa'}^{\frac{1}{2}} Z_{aa'} C_{11} \right\} / D , \quad \alpha_{aa} = \left\{ \frac{1}{2} (1 + \mu_{aa'}) + Z_{aa'} C_{22} \right\} / D$$

$$\beta_{aa'} = \beta_{aa} = (1 + \mu_{aa'}^{\frac{1}{2}} Z_{aa'} C_{12}) / D = (1 + Z_{aa'} C_{12}) / D$$

$$\delta_{aa'} = Z_{aa'}^2 / \left\{ \frac{1}{2} (1 + \mu_{aa'}) + \mu_{aa'}^{\frac{1}{2}} Z_{aa'} C_{11} \right\} , \quad \delta_{aa} = Z_{aa'}^2 / \left\{ \frac{1}{2} (1 + \mu_{aa'}) + Z_{aa'} C_{22} \right\}$$

$$D = \left\{ \frac{1}{2} (1 + \mu_{aa'}) + \mu_{aa'}^{\frac{1}{2}} Z_{aa'} C_{11} \right\} \left\{ \frac{1}{2} (1 + \mu_{aa'}) + Z_{aa'} C_{22} \right\} - (1 + \mu_{aa'}^{\frac{1}{2}} Z_{aa'} C_{12})(1 + Z_{aa'} C_{21})$$

$$C_{11} = \{ J_1(f) N_1(\xi) - J_1(\xi) N_1'(f) \} / C , \quad C_{12} = \{ J_1(\xi) N_1(\xi) - J_1(\xi) N_1'(\xi) \} / C$$

$$C_{21} = -\{ J_1(f) N_1'(f) - J_1'(f) N_1(f) \} / C , \quad C_{22} = -\{ J_1(f) N_1'(\xi) - J_1'(\xi) N_1(f) \} / C$$

$$C = J_1(f) N_1(\xi) - J_1(\xi) N_1(f) , \quad f = 2(\lambda_{aa'} \lambda_{aa})^{1/2} Z_{aa'} / \lambda_{aa'} , \quad \xi = 2 \lambda_{aa'} Z_{aa} / \lambda_{aa'}$$

J: 第一種ベッセル函数, N: 第二種ベッセル函数

$$(c) \quad f(\xi) = (\lambda_{aa'} + x)^3 / \lambda_{aa'}$$

$$\alpha_{aa'} = \mu_{aa'}^{\frac{1}{2}} \left\{ \frac{1}{2} (\mu_{aa'}^{-\frac{1}{2}} + \mu_{aa'}^{\frac{1}{2}}) - \mu_{aa'}^{\frac{1}{2}} \frac{\lambda_{aa'}}{\lambda_{aa'}} k \frac{\cos(k \ln \mu_{aa'})}{\sin(k \ln \mu_{aa'})} \right\} / D$$

$$\alpha_{aa} = \mu_{aa'}^{\frac{1}{2}} \left\{ \frac{1}{2} (\mu_{aa'}^{-\frac{1}{2}} + \mu_{aa'}^{\frac{1}{2}}) - \mu_{aa'}^{\frac{1}{2}} \frac{\lambda_{aa'}}{\lambda_{aa'}} k \frac{\cos(k \ln \mu_{aa'})}{\sin(k \ln \mu_{aa'})} \right\} / D$$

$$\beta_{aa'} = \beta_{aa} = (1 - \mu_{aa'}^{\frac{1}{2}} \frac{\lambda_{aa'}}{\lambda_{aa'}} k \frac{1}{\sin(k \ln \mu_{aa'})}) / D$$

$$\delta_{aa'} = Z_{aa'}^2 / \mu_{aa'}^{\frac{1}{2}} \left\{ \frac{1}{2} (\mu_{aa'}^{-\frac{1}{2}} + \mu_{aa'}^{\frac{1}{2}}) - \mu_{aa'}^{\frac{1}{2}} \frac{\lambda_{aa'}}{\lambda_{aa'}} k \frac{\cos(k \ln \mu_{aa'})}{\sin(k \ln \mu_{aa'})} \right\}$$

$$\delta_{aa} = Z_{aa'}^2 / \mu_{aa'}^{\frac{1}{2}} \left\{ \frac{1}{2} (\mu_{aa'}^{-\frac{1}{2}} + \mu_{aa'}^{\frac{1}{2}}) - \mu_{aa'}^{\frac{1}{2}} \frac{\lambda_{aa'}}{\lambda_{aa'}} k \frac{\cos(k \ln \mu_{aa'})}{\sin(k \ln \mu_{aa'})} \right\}$$

$$D = \left\{ \frac{1}{2} \left( \frac{k_{aa}}{l_{aa}} + \frac{k_{bb}}{l_{bb}} \right) - \frac{k_{aa}}{l_{aa}} \frac{l_{aa}}{k_{aa}} k \frac{\cos(k l_{aa})}{\sin(k l_{aa})} \right\}^2 - \left( 1 - \frac{k_{aa}}{l_{aa}} \frac{l_{aa}}{k_{aa}} k \frac{1}{\sin(k l_{aa})} \right)^2$$

$$(d) f(\xi) = (l_{aa} + x)^2 / l_{aa}$$

この場合は (b) の式に於て  $f = -2 \frac{k_{aa}}{l_{aa}} l_{aa}^2 Z_{aa}' / l_{aa}$ ,  $\xi = -2 l_{aa} Z_{aa}' / l_{aa}$  と置けば良い。

$$(e) f(\xi) = (l_{aa} + x)^2 / l_{aa}$$

$$\alpha_{aa}' = Z_{aa}' (\sin \mu_{aa} Z_{aa}' - \mu_{aa} Z_{aa}' \cos \mu_{aa} Z_{aa}') / \{ 2 (1 - \cos \mu_{aa} Z_{aa}') - \mu_{aa} Z_{aa}' \sin \mu_{aa} Z_{aa}' \}$$

$$\alpha_{ba} = Z_{aa}' (\sin \mu_{aa} Z_{aa}' - \mu_{aa} Z_{aa}' \cos \mu_{aa} Z_{aa}') / \mu_{aa} \{ 2 (1 - \cos \mu_{aa} Z_{aa}') - \mu_{aa} Z_{aa}' \sin \mu_{aa} Z_{aa}' \}$$

$$\beta_{aa}' = \beta_{ba} = Z_{aa}' (\mu_{aa} Z_{aa}' - \sin \mu_{aa} Z_{aa}') / \mu_{aa} \{ 2 (1 - \cos \mu_{aa} Z_{aa}') - \mu_{aa} Z_{aa}' \sin \mu_{aa} Z_{aa}' \}$$

$$\delta_{aa}' = Z_{aa}' \sin \mu_{aa} Z_{aa}' / \mu_{aa} (\sin \mu_{aa} Z_{aa}' - \mu_{aa} Z_{aa}' \cos \mu_{aa} Z_{aa}')$$

$$\delta_{ba} = \mu_{aa} Z_{aa}' \sin \mu_{aa} Z_{aa}' / (\sin \mu_{aa} Z_{aa}' - \mu_{aa} Z_{aa}' \cos \mu_{aa} Z_{aa}')$$

### 3. 式の適用 (釣合条件式並びに 挫屈条件式)

式の適用に当っては、一般的の骨組問題を撓角法によって解く場合と同様に考えて取扱えば良い。

節点方程式 任意節点  $i$  に於て  $\sum M_i = 0$ , 撓み角の数だけ成立する。

層方程式 任意層  $j$  に於て  $\sum Q_j = 0$ , 部材角の数だけ成立する。

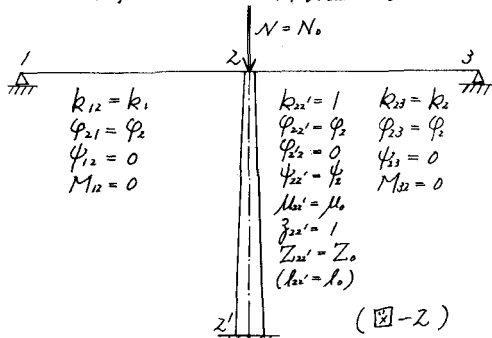
但し、ここに  $Q$  は層剪断力であり次の如く示される。

$$Q_{aa}' = Q_{ba} = - \frac{1}{l_{aa}} (M_{aa}' + M_{ba} + Z_{aa}' k_{aa} \varphi_{aa}') \quad (11)$$

以上の釣合条件式を作成すれば独立変量  $k$  を除いてそれと同数の右辺零なる連立方程式を得る。この連立方程式の係数行列を零と置けばこれが求めた挫屈条件式である。

### 4. 例題

(2)-e,  $f(\xi) = (l_{aa} + x)^2 / l_{aa}$  の場合  $k$  についてその適用例を示す。(図-1 参照)



(図-2)

$$\begin{aligned} N &= N_0 \\ 2 &\rightarrow k \\ Z_{aa}' &= Z_{aa} Z_0 \\ Z_{aa}' &= \left( \frac{N_0}{N_0 l_0} \frac{l_0}{E K_0} \right)^{1/2} \\ Z_0 &= (N_0 l_0 / E K_0)^{1/2} \end{aligned} \quad (13)$$

添字零はすべて標準部材である事を表す。

$$\begin{aligned} \alpha_{aa}' + \beta_{aa}' &= Y_{aa}' \\ \beta_{ba} + \alpha_{aa}' &= Y_{aa} \end{aligned} \quad (14)$$

$$M_{12} = 0, M_{21} = 3k_1 \varphi_2, M_{22} = \alpha_{aa}' \varphi_2 - Y_{aa}' \psi_2, M_{32} = \beta_{aa}' \varphi_2 - Y_{aa}' \psi_2, M_{13} = 3k_2 \varphi_2, M_{32} = 0 \quad (15)$$

$$\text{剪断力式は, } Q_{22}' = - \frac{1}{l_0} \{ (\alpha_{aa}' + \beta_{aa}') \varphi_2 - (Y_{aa}' + Y_{ba} - Z_0) \psi_2 \} \quad (16)$$

釣合条件式は (15), (16) 式より

$$\sum M_2 = 0, (3k_1 + 3k_2 + \alpha_{aa}') \varphi_2 - Y_{aa}' \psi_2 = 0 \quad (17)$$

$$Q_{22}' = 0, (\alpha_{aa}' + \beta_{aa}') \varphi_2 - (Y_{aa}' + Y_{ba} - Z_0) \psi_2 = 0$$

挫屈条件式は (17) 式の係数行列を零と置く事により

$$\left| \begin{array}{cc} 3(k_1 + k_2) + \alpha_{aa}' & Y_{aa}' \\ \alpha_{aa}' + \beta_{aa}' & Y_{aa}' + Y_{ba} - Z_0 \end{array} \right| = 0. \quad (18)$$

(18)

(18)式を満足する様な $Z_0$ の値を試算により求めれば  $N = N_0 = Z_0^2 E K_0 / l$ . ----- (19)

### 5. 换算

2-(e)の場合の係数について考察した事で次記する。

今部材 A-A' の標準断面として 焦点 O から  $\sqrt{I_{aa'} \cdot I_{aa}}$  の距離にみる断面を考える。  
(截頭円錐材の場合には、半径  $\sqrt{I_{aa'} \cdot I_{aa}}$  の断面である。) この断面に於ける断面二次モーメントを  $I_{aa}^o$  で表わせば  $I_{aa}^o = I_{aa} / M_{aa}^2$ ,  $K_{aa}^o = I_{aa} / l_{aa}$ .

よって各係数は次の如くなる。

$$k_{aa} = k_{aa}^o / M_{aa}^2, \quad k_{aa}^o = E K_{aa}^o / E_0 K_0 \quad \text{----- (20)}$$

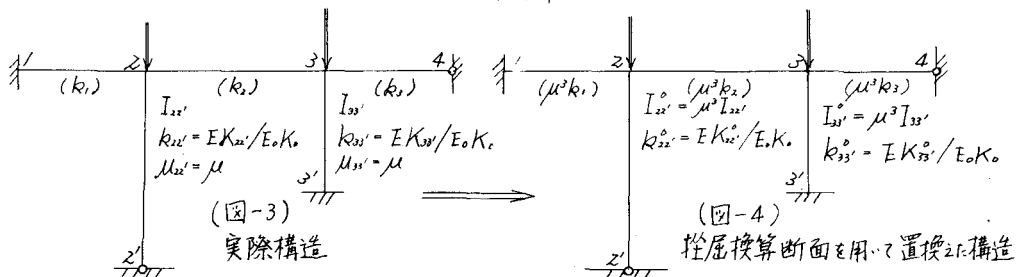
$$\alpha_{aa} = \alpha_{aa}^o / M_{aa}^2, \quad \alpha_{aa}^o = \alpha_{aa}^o / M_{aa}^3, \quad \beta_{aa} (\leftarrow \beta_{aa}) = \beta_{aa}^o / M_{aa}^2 (= \beta_{aa}^o / M_{aa}^3)$$

$$\delta_{aa} = \delta_{aa}^o / M_{aa}^2, \quad \delta_{aa}^o = \delta_{aa}^o / M_{aa}^3 \quad \text{----- (21)}$$

但し、右肩添字零は部材 A-A' が断面二次モーメント  $I_{aa}^o$  の定断面材と考へた時の軽屈換角式係数で 2-(a) の内容をもつ。

既出例題(図-2参照)に於て、1, 3 点で固定した場合を考える。この時軽屈条件式は次の如くなる。 $4(k_{2z} + k_{23}) + k_{22}^o \alpha_{22}^o = 0$ , この式に(20), (21)式を代入すれば、 $4M_{22}^2(k_{2z} + k_{23}) + k_{22}^o \alpha_{22}^o = 0$  となる。即ち、2-2' 部材は上記標準断面  $I_{aa}^o$  (これを軽屈換算断面と名付ける)の定断面材と考へ、他の 1-2, 2-3 部材の剛比  $k$  に  $M^3 k$  を用いる事により、一般の定断面材骨組構造の軽屈解析と同型となり既存の実用のための表やグラフを利用出来る事になる。

以上で分3種に肘型、丁型、内型、Π型等の骨組構造で柱を変形面柱とする時、この柱が部材街を生せず、又は端が固定、又は、L字の場合に限り、この骨組に対する軽屈条件式は  $\alpha_{ii}^o$  又は  $\delta_{ii}^o$  のみの通常式となり更にこれが柱が凡て同じ  $M_{ii}^o$  の値を持つ時、この骨組は上述の如く一般的定断面材骨組として取扱う事が可能である。(図-3, 4 参照)



文献 (1) 坂静雄； 機械法による剛節架構の安定論 建築雑誌 1931. 11.

(2) 楠浦大三； 機械法による構造物の安定論 土木学会誌 1940. 10, 11.

(3) 小西一郎； 一般剛節構造物の解法及びその極限状態に於ける性状について 土木学会論文集 9号 1950.